

О РЕЖИМАХ РАБОТЫ РЕАКТОРА ИДЕАЛЬНОГО ВЫТЕСНЕНИЯ  
С РЕЦИКЛОМ

В. С. Берман, Ю. П. Гупало, А. В. Мартиросов,  
Ю. С. Рязанцев

(Москва)

Рассматривается влияние рециркуляции на режимы работы химического реактора, модель которого была предложена ранее в [1]. Целесообразность и эффективность осуществления многих химических процессов в системах с рециркуляцией показаны в [2]. Исследовалась также устойчивость режимов работы для одной простой модели реактора с рециклом [3].

В работе [4] была предложена математическая модель химического реактора идеального вытеснения с интегральным учетом тепловыделения, в котором диффузионный перенос пренебрежимо мал по сравнению с конвективным переносом, а теплопроводность настолько велика, что температуру внутри реактора можно считать одинаковой. Был исследован вопрос о стационарных режимах и их устойчивости. Ниже этот вопрос рассматривается в случае, когда в таком реакторе часть прошедшего через него потока снова подается на вход реактора. Так же как в [1, 4], принимается во внимание зависимость вязкости смеси реагентов и продуктов реакции от температуры.

1. Уравнения. Граничное условие. Стационарные режимы. Уравнения массотеплопереноса в адиабатическом реакторе с интегральным учетом тепловыделения при наличии рецикла имеют вид

$$(1.1) \quad \rho \frac{\partial \xi}{\partial t} + m \frac{\partial \xi}{\partial x} - \rho f(T) (\xi_m - \xi) = 0$$

$$(1.2) \quad \rho \frac{dT}{dt} + \frac{c_1}{c} m (1-r)(T - T_0) - \frac{h}{c} f(T) \left( \xi_m - \frac{1}{l} \int_0^l \xi dx \right) = 0$$

Здесь  $x, t$  — координата и время,  $l$  — длина реактора ( $0 \leq x \leq l$ ),  $\xi$  — степень продвижения реакции,  $\xi_m$  — максимальное значение степени продвижения реакции,  $m$  — массовая скорость смеси в реакторе,  $h$  — плотность смеси,  $T$  — температура,  $f(T)$  — зависимость скорости химической реакции от температуры, функция аррениусовского типа,  $h$  — теплота реакции,  $c_1$  — теплоемкость смеси,  $c$  — суммарная теплоемкость смеси и катализатора,  $T_0$  — температура исходной смеси,  $r$  — коэффициент рециркуляции.

Предполагая, что фильтрационное движение смеси сквозь слой катализатора подчиняется закону Дарси, массовую скорость течения можно выразить через перепад давления на выходе и входе реактора  $P$

$$(1.3) \quad m = kP / \nu l$$

где  $\nu = \nu(T)$  — кинематическая вязкость смеси,  $k$  — проницаемость.

Уравнение (1.1) дополним граничным условием, учитывающим наличие рецикла

$$(1.4) \quad \xi(0, t) = r\xi(l, t) + (1-r)\xi_0$$

Анализ стационарных режимов сводится к определению функции  $\xi^\circ(x)$  и значения  $T^\circ$  из (1.2) при  $\partial / \partial t = 0$ ; для  $\xi^\circ(x)$  можно получить

$$(1.5) \quad \xi^\circ(x) = \xi_m - \left[ (\xi_m - \xi_0)(1-r) \exp\left(-\frac{\rho f(T^\circ)}{m^\circ} x\right) \right] \times \\ \times \left[ 1 - r \exp\left(-\frac{\rho l f(T^\circ)}{m^\circ}\right) \right]^{-1}$$

Трансцендентное уравнение для  $T^\circ$  имеет вид

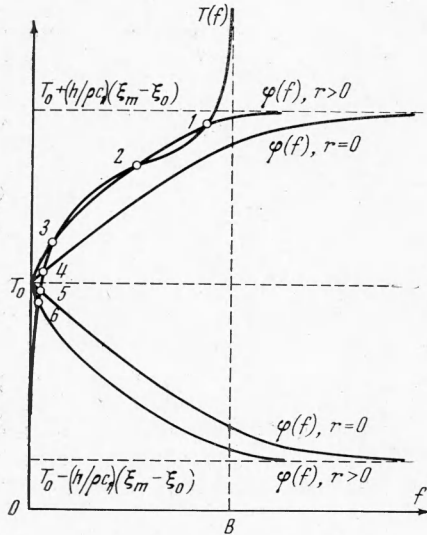
$$(1.6) \quad T^\circ = T_0 + \frac{h}{\rho c_1} \left[ (\xi_m - \xi_0) \left( 1 - \exp\left(-\frac{\rho f(T^\circ)}{m^\circ} l\right) \right) \right] \times \\ \times \left[ 1 - r \exp\left(-\frac{\rho l f(T^\circ)}{m^\circ}\right) \right]^{-1}$$

Число стационарных режимов работы реактора с рециклом равно числу решений уравнения (1.6).

Анализ уравнения (1.6) удобно провести графически, считая левую и правую части (1.6) функциями от  $f$ . На фиг. 1 показан ход зависимостей  $T^\circ = T^\circ(f)$

$$(1.7) \quad f(T^\circ) = B \exp(-E / RT^\circ)$$

Пересечения кривых определяют стационарные режимы. С увеличением коэффициента рециркуляции кривые, соответствующие правой части, будут располагаться выше (экзотермическая реакция) или ниже (эндотермическая реакция), по-прежнему проходя через точку  $T = T_0$ ,  $f = 0$  и сохраняя прежние асимптоты



Фиг. 1

$$\varphi = T_0 + \frac{h}{\rho c_1} (\xi_m - \xi_0)$$

$$\varphi = T_0 - \frac{h}{\rho c_1} (\xi_m - \xi_0)$$

Видно, что рост параметра  $r$  в случае экзотермической реакции может привести к изменению числа режимов (как к увеличению, так и к уменьшению), в то время как при эндотермической реакции всегда возможен только один режим.

Видно также, что возможны как устойчивые стационарные режимы (1), так и неустойчивые (2).

**2. Устойчивость стационарных режимов.** Введем безразмерные переменные

$$x' = x / l, \quad T' = T / T_0, \quad v' = v / v^\circ \\ m' = m / m_0, \quad P = P / P^\circ, \quad t' = t / (l\rho / m^\circ)$$

$$S = \frac{\rho f^\circ l}{m^\circ}, \quad \Phi(T') = \frac{f(T)}{f^\circ}, \quad \sigma = \frac{h}{\rho c_1} \frac{(\xi_m - \xi_0)}{T^\circ}$$

$$a = \frac{\xi_m - \xi}{\xi_m - \xi_0}, \quad \gamma = T_0 / T^\circ$$

Тогда соотношения (1.1) — (1.6) (далее опускаем штрихи у вновь введенных величин) примут вид

$$(2.1) \quad \frac{\partial a}{\partial t} + m \frac{\partial a}{\partial x} + Sa\Phi(T) = 0$$

$$(2.2) \quad \frac{\partial T}{\partial t} + \lambda m(T - \gamma) - \sigma S\Phi(T) \int_0^1 a dx = 0$$

$$(2.3) \quad M = P / v$$

$$(2.4) \quad a(0, t) = ra(1, t) + 1 - r$$

$$(2.5) \quad a^\circ(x) = \frac{(1-r)}{(1-re^{-S})} e^{-Sx}$$

$$(2.6) \quad \lambda(1-\gamma) = \frac{\sigma(1-r)}{(1-re^{-S})} (1-e^{-S})$$

При анализе устойчивости применим метод малых возмущений. Представим  $T(t)$ ,  $a(x, t)$ ,  $m(t)$ ,  $P(t)$  в виде

$$(2.7) \quad \begin{aligned} K &= K^\circ + \delta K \\ T &= 1 + \delta T, \quad a = a^\circ + \delta a, \quad m = 1 + \delta m \\ P &= 1 + \delta p \end{aligned}$$

После линеаризации вместо (2.1) — (2.4) получим

$$(2.8) \quad \frac{\partial(\delta a)}{\partial t} + \frac{\partial(\delta a)}{\partial x} + S\delta a + K_1 e^{-Sx} \delta T - K_1 e^{-Sx} \delta p = 0$$

$$(2.9) \quad \frac{d}{dt}(\delta T) + K_3 \delta T - K_4 \int_0^1 \delta a dx + K_5 \delta p = 0$$

$$(2.10) \quad \delta a(0, t) = r\delta a(1, t)$$

$$\delta m = \left(\frac{\partial m}{\partial p}\right)^\circ \delta p + \left(\frac{\partial m}{\partial T}\right)^\circ \delta T = \delta p - \left(\frac{\partial v}{\partial T}\right)^\circ \delta T$$

$$K_1 = \frac{S(1-r)}{(1-re^{-S})} \left[ \left(\frac{\partial \Phi}{\partial T}\right)^\circ + \left(\frac{\partial v}{\partial T}\right)^\circ \right]$$

$$K_2 = \frac{S(1-r)}{(1-re^{-S})}, \quad K_3 = \lambda - \frac{\sigma(1-r)}{(1-re^{-S})} \left[ \left(\frac{\partial \Phi}{\partial T}\right)^\circ + \left(\frac{\partial v}{\partial T}\right)^\circ \right]$$

$$K_4 = \sigma S, \quad K_5 = \frac{\sigma(1-r)}{(1-re^{-S})} (1-e^{-S}), \quad \lambda = \frac{i_1}{i} (1-r)$$

считая  $\lambda = \text{const}$ ,  $\gamma = \text{const}$ . Полагаем, что возмущения стационарного режима вызваны изменением перепада давления, степени продвижения реакции и температуры.

$$(2.11) \quad \begin{aligned} \delta p &= \begin{cases} 0, & t < 0 \\ \exp(-\sigma_0 t)(t > 0), & \text{Re } \sigma_0 > 0 \end{cases} \\ \delta a(x, 0) &= \eta_1(x), \quad \delta T(0) = \eta_2 \end{aligned}$$

Здесь величины  $\eta_1(x)$  и  $\eta_2$  произвольны. Решение задачи (2.8) — (2.10) найдем методом преобразования Лапласа, введем для  $\delta p(t)$ ,  $\delta a(x, t)$  и  $\delta T(t)$  изображения по формуле

$$\delta K^*(z, x) = \int_0^\infty \exp(-zt) \delta K dt$$

После применения преобразования Лапласа получим

$$(2.12) \quad (S+z)\delta a^* + \frac{d}{dx}(\delta a^*) + K_1 e^{-Sx} \delta T^* - \frac{K_2 e^{-Sx}}{\sigma_0 + z} - \eta(x) = 0$$

$$(2.13) \quad \delta T^*(z + K_3) - K_4 \int_0^1 \delta a^* dx + \frac{K_5}{\sigma_0 + z} - \eta_2 = 0$$

$$(2.14) \quad \delta a^*(0, z) = r \delta a^*(1, z)$$

Для решения (2.12) — (2.14) проинтегрируем сначала уравнение (2.12)

$$\delta a^* = c e^{-(S+z)x} + \frac{K_2 e^{-Sx}}{(\sigma_0 + z)z} - \frac{K_1}{z} \delta T^* e^{-Sx} + J(x)$$

$$c = c(z), \quad J(x) = e^{-(S+z)x} \int_0^x e^{(S+z)y} \eta_1(y) dy$$

где  $c$  находится из уравнения (2.14)

$$(2.15) \quad c = \frac{K_2}{(\sigma_0 + z)z} \frac{(re^{-S} - 1)}{(1 - re^{-(S+z)})} + \frac{K_1(1 - re^{-S})}{z(1 - re^{-(S+z)})} \delta T^* + \frac{J(1)}{[1 - re^{-(S+z)}]}$$

Вычислив  $\int_0^1 \delta a^* dx$  и подставляя в (2.13), получаем

$$(2.16) \quad \delta T^* = \left[ \eta_2 + K_4(N_1 + N_2) - \frac{K_5}{\sigma_0 + z} \right] \psi^{-1}$$

Здесь

$$N_1 = \frac{K_2}{z(\sigma_0 + z)} \left[ \frac{(1 - e^{-S})}{S} + \frac{(re^{-S} - 1)}{(1 - re^{-(S+z)})} \frac{(1 - e^{-(S+z)})}{(z + S)} \right]$$

$$N_2 = \int_0^1 J(x) dx + \frac{J(1)[1 - e^{-(S+z)}]}{[1 - re^{-(S+z)}](S + z)}$$

$$\psi = \frac{f_1}{z(z + S)(e^z - re^{-S})}$$

$$(2.17) \quad f_1 = e^z [z^3 + \omega_3 z^2 - \omega_1 z + \omega_2] - \omega_0 [z^3 + \omega_3 z^2 - \omega_1] - \omega_2$$

$$\omega_0 = re^{-S}, \quad \omega_1 = -S\lambda$$

$$(2.18) \quad \omega_2 = -\sigma S^2 \frac{(1-r)}{(1 - e^{-Sr})} \left[ \left( \frac{\partial \Phi}{\partial T} \right)^\circ + \left( \frac{\partial v}{\partial T} \right)^\circ \right]$$

$$\omega_3 = S + \lambda - \frac{\sigma(1-r)}{(1 - e^{-Sr})} \left[ \left( \frac{\partial \Phi}{\partial T} \right)^\circ + \left( \frac{\partial v}{\partial T} \right)^\circ \right]$$

Здесь градус обозначает величины, относящиеся к стационарному состоянию. Переход от изображения по Лапласу (2.16) к оригиналу не составляет труда, так как все особенности функции (2.16) — полюсы; точка  $z = 0$  не является полюсом (2.16), потому что числитель также имеет это значение в качестве однократного корня. Величины  $J(x)$ ,  $\int_0^1 J(x) dx$  имеют полюсы только в плоскости  $z$  с действительной частью  $\text{Re } z = -S$ .

Это легко показать. Представим  $\eta_1(x)$  в виде ряда Фурье, тогда

$$\eta_1(x) = \sum_{K=0}^{\infty} [a_K \sin(K\pi x) + b_K \cos(K\pi x)]$$

$$J(x) = e^{-(S+z)} \sum_{k=0}^{\infty} \frac{e^{(S+z)x}}{(S+z)^2 + (K\pi)^2} \{[(z+S) \sin(K\pi x) -$$

$$- K\pi \cos(K\pi x)] - [(z+S) \cos(K\pi x) + K\pi \sin(K\pi x)]\}$$

следовательно,  $z_K = -S \pm iK\pi$ .

Поэтому источником неустойчивости (т. е. полюсов (2.16), лежащих правее прямой  $\operatorname{Re} z = 0$ ) может быть только функция  $f_1$ . При исследовании положения корней этой функции будем использовать идеи метода  $D$ -разбиений, развитых Ю. Н. Неймарком [5, 6]. Так как  $\omega_i$  зависят более чем от четырех параметров, можно рассматривать случаи, когда все  $\omega_i$  (кроме, быть может, одного или двух) фиксированы, а остальные могут изменяться.

Пусть фиксированы  $\omega_0$  и  $\omega_3$ , рассмотрим плоскость  $\omega_1\omega_2$  в четырехмерном пространстве  $(\omega_0, \omega_1, \omega_2, \omega_3)$ . Найдем кривую, на которой (2.17) имеет чисто мнимый корень  $z = iy$ . Она состоит из кривой в параметрическом задании

$$(2.19) \quad N: \begin{cases} \omega_1 = -y^2 + \frac{\omega_3 y \sin y (1 - \omega_0)}{(1 - \omega_0 y)(1 + \omega_0)} \\ \omega_2 = \omega_3 \frac{(1 - 2\omega_0 \cos y + \omega_0^2)}{(1 - \cos y)(1 + \omega_0)} y^2 \end{cases}$$

а также из прямой

$$(2.20) \quad \left. \begin{aligned} \omega_1 &= 2 \frac{\omega_3 (1 - \omega_0)}{(1 + \omega_0)} \\ \omega_2 &= 2 \frac{\omega_3 (1 - \omega_0)^2}{(1 + \omega_0)} \end{aligned} \right\} \omega_2 = \omega_1 (1 - \omega_0)$$

которая получается для случая  $y = 0$ , так как при этом уравнения

$$\operatorname{Im} f_1(iy) = 0, \quad \operatorname{Re} f_1(iy) = 0$$

совпадают.

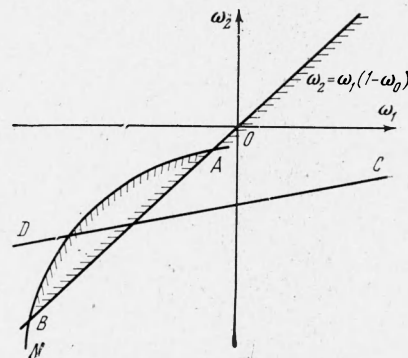
При изменении  $\omega_i$  корень может переходить из области, где  $\operatorname{Re} z > 0$ , в область  $\operatorname{Re} z < 0$ , пересекая кривую  $N$  ( $\operatorname{Re} z = 0$ ). Штрихуем кривую  $N$  при положительном обходе  $y$  от  $-\infty$  до  $\infty$  справа, если корень переходит с правой полуплоскости  $z$  в левую, и слева в противоположном случае. Область устойчивости следует искать [4] в области

$$(2.21) \quad 1 - |\omega_0| \geq 0$$

т. е.

$$0 \leq \omega_0 \leq 1$$

Область устойчивости изображена на фиг. 2. В зависимости от значений  $\omega_0$  и  $\omega_3$  область устойчивости меняется от области лежащей (при



Фиг. 2

фиксированном  $\omega_0$ ) между осью  $\omega_2 = 0$ ;  $\omega_1 < 0$  и прямой  $\omega_2 = \omega_1(1 - \omega_0)$  при значении  $\omega_3 = 0$ , до точки

$$(2.22) \quad \left( 2\omega_3^* \frac{(1 - \omega_0)}{(1 + \omega_0)}, 2\omega_3^* \frac{(1 - \omega_0)^2}{(1 + \omega_0)} \right)$$

при

$$\omega_3^* = - \frac{3(1 - \omega_0)}{\sigma\omega_0 + (1 + \omega_0)^2}$$

Вернемся теперь к параметрам (2.18). Из (2.21) следует, что параметр рецикла может изменяться от 0 до 1. Из (2.18) следует, что при  $\omega_3 = \text{const}$

$$(2.23) \quad \omega_2 = \omega_1 S + S^2(\omega_3 - S)$$

Исследуя значения  $S$ , можно определить интервалы, в которых режим работы реактора устойчив; предельное значение  $S^*$  находится из (2.23) при учете (2.22). Так, при  $\omega_0 = 0$ , т. е.  $r = 0$

$$(2.24) \quad S^* \cong 0.7$$

Из (2.24) следует, что имеет место устойчивость, если  $S \in [S_A, S_B]$ , где  $S_A$  и  $S_B$  — соответственно значения параметра  $S$  при пересечении прямой  $DC$ , определяемой (2.23), с прямой  $\omega_2 = \omega_1(1 - \omega_0)$  в точках  $A$  и  $B$  (см. фиг. 2).

Далее можно показать, что на границе области устойчивости режим нейтрально устойчив, причем на той части границы, которая образована поверхностью  $N$ , возмущение стационарного режима имеет характер нейтральных колебаний с ненулевой частотой.

Выяснение области устойчивости в физических переменных  $S$ ,  $r$ ,  $\lambda$ ,  $\sigma$ , . . . сводится к переходу к параметрам  $\omega_i$  и исследованию положения соответствующей точки относительно найденных границ устойчивости.

Поступила 8 XII 1972

#### ЛИТЕРАТУРА

1. Гупало Ю. П., Рязанцев Ю. С. О режимах работы химического реактора идеального вытеснения с интегральным учетом тепловыделения. ПМТФ, 1969, № 1.
2. Нагиев М. Ф. Теория рециркуляции и повышение оптимальности химических процессов. М., «Наука», 1970.
3. Luss D., Amundson N. R. Stability of loop reactors. A. I. Ch. E. Journal, 1967, vol. 13, No. 2.
4. Гупало Ю. П., Рязанцев Ю. С. О термомеханической неустойчивости стационарного режима работы проточного химического реактора с неподвижным слоем катализатора. Изв. АН СССР, МЖТ, 1968, № 2.
5. Неймарк Ю. И. Устойчивость линеаризованных систем. Л., ЛКВВИА, 1949.
6. Неймарк Ю. И. D-разбиение пространства квазиполиномов. (К устойчивости линеаризованных распределенных систем.) ПММ, 1949, т. 13, вып. 4.